

B 样条插值和拟合球

一、作业项目

- Approximate a sphere by using B-spline surface fitting and interpolation, and discuss the approximation accuracy.
- 使用 B 样条插值和拟合逼近一个球体，并讨论拟合精度。

二、编程环境

- 操作系统: Ubuntu 20.04.1 LTS (x64)
- 处理器: Intel(R) Core(TM) i5-4210M CPU @ 2.60GHz
- 内存: 8.00GB
- IDE: Clion 2020.2
- 编程语言: C++
- 第三方库: glut, Eigen。其中，使用 glut 显示球面，使用 Eigen 进行矩阵运算。

三、使用说明

请确保您的电脑上已经安装 OpenGL glut 库和 Eigen 库。安装方法见安装 OpenGL，安装 Eigen。

运行之后可以使用“w”,“a”,“s”,“d”键控制球体旋转，按空格键切换显示模式，分为“显示所有”，“只显示曲面”，“只显示数据点”和“只显示控制点”四种模式。

1. 方法 1

直接使用 Clion 打开代码文件夹“BSpline”运行。

2. 方法 2

在命令行 release 文件夹下运行“./BSplien”程序。

可选参数如下:

-m 拟合/插值中的球面纵向(经线方向)拟合/插值数据点的个数，正整数。

-n 拟合/插值中的球面纵横向(纬线方向)拟合/插值数据点的个数，正整数。

-M 逼近方式(拟合还是插值)，a 拟合，i 插值。

-g 绘制显示时使用的网格大小，在显示被逼近的球时本程序使用 g*g 大小的网格显示结果，数值越大显示效果越好(该参数影响显示效果不影响拟合/插值结果)，正整数。

运行示例:

```
“./BSpline -m 10 -n 10 -M i -g 20 ”
```

表示使用 B 样条插值球面，插值点数据的数量为 $(10+1) * (10+1)$ ，显示时在绘制平面上选取 $(20+1) * (20+1)$ 个点组成的网格表示。

四、算法描述

1. 拟合/插值数据点的生成

为了逼近一个球体，需要先生成球上需要拟合/插值的数据点。本程序根据输入的参数 m, n 分别在纵向（经线方向）上生成 m+1 个数据点，在横向（纬线方向）生成 n+1 个数据点。

数据点的坐标为:

$$0.5 * ((1.0 - \sin(\alpha)^2) * \sin(\theta), \quad \sin(\alpha), \quad (1.0 - \sin(\alpha)^2) * \cos(\theta))$$

其中 α 为数据点向量与 Z - X 平面的夹角， θ 为数据点向量与 Y - Z 平面的夹角。

2. 拟合算法描述

对于拟合算法, 需要先确定拟合数据点在 u (纵向), v (横向)方向的个数 $m+1$ 和 $n+1$, 还需要确定 u 和 v 方向拟合控制点的个数 $e+1$ 、 $f+1$ 和拟合的次数 p 、 q 。需要满足 $m>e>q>=1$, $n>f>q>=1$ 。本程序规定 $e=m-1$, $f=n-1$, $p=e$, $q=f$ 。

a) 参数向量 s , t 的生成

每一个拟合数据点在 u , v 方向都需要与一个参数对应。以 u 方向为例, 先使用 **The Chord Length Method** 生成每一列拟合数据在该列中对应的参数, 再用同一行所有拟合数据点参数的均值作为该行所有的点在 u 方向的参数。 v 方向参数的确定方法与此相同。

b) 节点向量 $knot_u$, $knot_v$ 的生成

程序中使用准均匀节点向量。 $knot_u$ 两端点节点重复度为 $p+1$, 中间节点均匀分布。 $knot_v$ 两端点节点重复度为 $q+1$, 中间节点均匀分布。

c) 控制节点的生成

为了尽可能的逼近拟合数据点, 需要让曲面数据点与对应的拟合数据点距离尽可能小。

对于 u 方向目标曲线方程为

$$C(u) = \sum_{i=0}^h N_{i,p}(u) \mathbf{P}_i$$

我们令曲线经过第一个点和最后一个点, 因此目标曲线方程为

$$C(u) = N_{0,p}(u) \mathbf{P}_0 + \sum_{i=1}^{h-1} N_{i,p}(u) \mathbf{P}_i + N_{h,p}(u) \mathbf{P}_h$$

原拟合数据点与目标曲线上对应数据点的距离函数为

$$f(\mathbf{P}_1, \dots, \mathbf{P}_{h-1}) = \sum_{k=1}^{h-1} |D_k - C(t_k)|^2$$

(注意: 方程右侧求和符号写错了, 此处应该是 n 不是 h , 下同)

将方程右侧展开可以得到

$$\begin{aligned} \mathbf{D}_k - C(t_k) &= \mathbf{D}_k - \left[N_{0,p}(u) \mathbf{P}_0 + \sum_{i=1}^{h-1} N_{i,p}(u) \mathbf{P}_i + N_{h,p}(u) \mathbf{P}_h \right] \\ &= (\mathbf{D}_k - N_{0,p}(u) \mathbf{P}_0 - N_{h,p}(u) \mathbf{P}_h) - \sum_{i=1}^{h-1} N_{i,p}(u) \mathbf{P}_i \end{aligned}$$

令 \mathbf{Q}_k 为

$$\mathbf{Q}_k = (\mathbf{D}_k - N_{0,p}(u) \mathbf{P}_0 - N_{h,p}(u) \mathbf{P}_h)$$

那么

$$f(\mathbf{P}_1, \dots, \mathbf{P}_{h-1}) = \sum_{k=1}^{h-1} \left| \mathbf{Q}_k - \sum_{i=1}^{h-1} N_{i,p}(t_k) \mathbf{P}_i \right|^2$$

同时由于

$$\begin{aligned}
& \left| \mathbf{Q}_k - \sum_{i=1}^{h-1} N_{i,p}(t_k) \mathbf{P}_i \right|^2 \\
&= \left(\mathbf{Q}_k - \sum_{i=1}^{h-1} N_{i,p}(t_k) \mathbf{P}_i \right) \left(\mathbf{Q}_k - \sum_{i=1}^{h-1} N_{i,p}(t_k) \mathbf{P}_i \right) \\
&= \mathbf{Q}_k \mathbf{Q}_k - 2 \mathbf{Q}_k \left(\sum_{i=1}^{h-1} N_{i,p}(t_k) \mathbf{P}_i \right) + \left(\sum_{i=1}^{h-1} N_{i,p}(t_k) \mathbf{P}_i \right) \left(\sum_{i=1}^{h-1} N_{i,p}(t_k) \mathbf{P}_i \right)
\end{aligned}$$

因此 $f(\mathbf{P}_x)$ 可以写成

$$f(\mathbf{P}_1, \dots, \mathbf{P}_{h-1}) = \sum_{k=1}^{n-1} \left[\mathbf{Q}_k \mathbf{Q}_k - 2 \mathbf{Q}_k \left(\sum_{i=1}^{h-1} N_{i,p}(t_k) \mathbf{P}_i \right) + \left(\sum_{i=1}^{h-1} N_{i,p}(t_k) \mathbf{P}_i \right) \left(\sum_{i=1}^{h-1} N_{i,p}(t_k) \mathbf{P}_i \right) \right]$$

对 $f(\mathbf{P}_1, \mathbf{P}_2, \dots, \mathbf{P}_{h-1})$ 求导并让导数等于0可得到

$$\sum_{k=1}^{n-1} N_{g,p}(t_k) \sum_{i=1}^{h-1} N_{i,p}(t_k) \mathbf{P}_i = \sum_{k=1}^{n-1} N_{g,p}(t_k) \mathbf{Q}_k$$

将方程写成矩阵形式可以得到

$$(\mathbf{N}^T \mathbf{N}) \mathbf{P} = \mathbf{Q}$$

其中

$$\mathbf{P} = \begin{bmatrix} \mathbf{P}_1 \\ \mathbf{P}_2 \\ \vdots \\ \mathbf{P}_{h-1} \end{bmatrix} \quad \mathbf{Q} = \begin{bmatrix} \sum_{k=1}^{n-1} N_{1,p}(t_k) \mathbf{Q}_k \\ \sum_{k=1}^{n-1} N_{2,p}(t_k) \mathbf{Q}_k \\ \vdots \\ \sum_{k=1}^{n-1} N_{h-1,p}(t_k) \mathbf{Q}_k \end{bmatrix} \quad \mathbf{N} = \begin{bmatrix} N_{1,p}(t_1) & N_{2,p}(t_1) & \cdots & N_{h-1,p}(t_1) \\ N_{1,p}(t_2) & N_{2,p}(t_2) & \cdots & N_{h-1,p}(t_2) \\ \vdots & \vdots & \ddots & \vdots \\ N_{1,p}(t_{n-1}) & N_{2,p}(t_{n-1}) & \cdots & N_{h-1,p}(t_{n-1}) \end{bmatrix}$$

矩阵方程中 \mathbf{N} 和 \mathbf{Q} 已知，因此可以通过解矩阵方程得控制节点矩阵 \mathbf{P} 。

在每一列使用以上算法计算一次，可以得到一个控制节点矩阵 \mathbf{P}' 。再将 \mathbf{P}' 视作新的拟合数据点，在每一行上重复该算法，即可求得曲面样条拟合的最终控制节点矩阵 \mathbf{P} 。

3. 插值算法描述

与拟合算法不同的是，插值算法规定了控制节点数与插值点数相等，因此对于插值算法可以直接通过一次矩阵计算得到控制点，而不需要像拟合算法一样对每个方向分别计算。具体描述如下：

a) 参数向量 s , t 的生成

与拟合算法时生成 s , t 参数的方法一样。

b) 节点向量 $knot_u$, $knot_v$ 的生成

为了让计算矩阵非奇异，在生成 $knot$ 向量时使用 de Boor 提出的 average parameters 方法，计算公式如下：

$$\begin{aligned}
u_0 &= u_1 = \cdots = u_p = 0 \\
u_{j+p} &= \frac{1}{p} \sum_{i=j}^{j+p-1} t_i \quad \text{for } j = 1, 2, \dots, n-p \\
u_{m-p} &= u_{m-p+1} = \cdots = u_m = 1
\end{aligned}$$

c) 控制节点的生成

假设结果曲面的方程为

$$\mathbf{S}(u, v) = \sum_{i=0}^m \sum_{j=0}^n \mathbf{P}_{ij} N_{i,p}(u) N_{j,q}(v)$$

因为曲面 $\mathbf{S}(u, v)$ 经过插值数据点，因此有

$$\begin{aligned} \mathbf{D}_{cd} = \mathbf{S}(s_c, t_d) &= \sum_{i=0}^m \sum_{j=0}^n \mathbf{P}_{ij} N_{i,p}(s_c) N_{j,q}(t_d) \\ &= \sum_{i=0}^m N_{i,p}(s_c) \left(\sum_{j=0}^n \mathbf{P}_{ij} N_{j,q}(t_d) \right) \end{aligned}$$

令 \mathbf{Q}_{id} 为

$$\mathbf{Q}_{id} = \sum_{j=0}^n \mathbf{P}_{ij} N_{j,q}(t_d)$$

那么有

$$\mathbf{D}_{cd} = \sum_{i=0}^m N_{i,p}(s_c) \mathbf{Q}_{id}$$

我们可以将其写成矩阵形式得到

$$\mathbf{D} = \mathbf{N}_{i,p} \mathbf{P} \mathbf{N}_{j,q}$$

其中 \mathbf{D} ， $N_{i,p}$ 和 $N_{j,q}$ 都已知，因此可以通过矩阵运算解得控制点矩阵 \mathbf{P} 。

4. 结果曲面数据的计算

在得到控制点 \mathbf{P} 和节点向量 $knot$ 之后，可以根据 B 样条曲面方程计算曲面上点的位置。曲面方程如下。

$$\mathbf{S}(u, v) = \sum_{i=0}^e \sum_{j=0}^f \mathbf{P}_{ij} N_{i,p}(u) N_{j,q}(v)$$

为了降低计算成本，本文使用在曲面上选取 $(g+1) * (g+1)$ 个在 $([0,1], [0,1])$ 范围内的均匀数据点作为显示的点。

5. 曲面闭合的处理

为了得到一个闭合的 B 样条曲面，尽可能地逼近球体，本程序重复使用纬线方向的第一个数据点，在经线方向上，通过在极点处添加两个点 $(0, 0.5, 0)$ 和 $(0, -0.5, 0)$ ，使曲面在经线方向上闭合。

五、数据结构说明

1. Point 结构体:

```
struct Point {  
    float x;  
    float y;  
    float z;  
    Point() {  
        x = y = z = 0.0f;  
    }  
    Point(float x, float y, float z) : x(x), y(y), z(z) {}  
};
```

表示空间中的一个点，包含x,y,z三个 float 类型变量，表示坐标。

2. BSpline 类:

BSpline 类 B 样条插值/拟合曲面类，根据用户输入的参数计算样条函数所需要的参数、节点向量和控制节点。再根据曲面方程计算插值/拟合曲面上的各点。

此处只给出计算控制节点和计算曲面上点的函数部分代码:

3. calculateControlPointsInter()

计算插值方法时需要用到的控制点:

```
void calculateControlPointsInter() {  
  
    // init s_, t_  
    initST();  
    // init u_, v_  
    initUVInter();  
    // init Nsi, Njt  
    initBaseFunction();  
  
    vector<MatrixXf> data_mat(3, MatrixXf(m_ + 1, n_ + 1));  
    // init data_x_y_z;  
    for (int i = 0; i < m_ + 1; i++) {  
        for (int j = 0; j < 3; j++) {  
            MatrixXf Q = base_function_s_i_.colPivHouseholderQr().solve(data_mat[i]);  
            MatrixXf P = base_function_j_t_.transpose().colPivHouseholderQr().solve(Q.transpose());  
            data_mat[i] = P.transpose();  
        }  
    }  
  
    vector<vector<Point>> temp_vec_con(m_ + 1, vector<Point>(n_ + 1));  
    control_points_.assign(temp_vec_con.begin(), temp_vec_con.end());  
  
    for (int i = 0; i < m_ + 1; i++) {  
        for (int j = 0; j < n_ + 1; j++) {  
            control_points_[i][j].x = data_mat[0](i, j);  
            control_points_[i][j].y = data_mat[1](i, j);  
            control_points_[i][j].z = data_mat[2](i, j);  
        }  
    }  
  
    calculateShowPoints();  
    fillEmpty();  
  
    calError();  
};
```

4. calculateControlPointsAppro()

计算拟合球面时需要用到的控制点，下面给出计算一系列数据点对应控制点的代码：

```
for (int col = 0; col < n_ + 1; col++) {
    float P0 = D(0, col);
    float Pe = D(m_, col);

    VectorXf P(e_ - 1);
    VectorXf QK(m_ - 1);
    VectorXf Q(e_ - 1);

    MatrixXf N(m_ - 1, e_ - 1);
    // init N
    for (int i = 0; i < m_ - 1; i++) {
        for (int j = 0; j < e_ - 1; j++) {
            N(i, j) = getN(j + 1, p_, s_[i + 1], u_);
        }
    }
    // init QK
    for (int i = 0; i < m_ - 1; i++) {
        int k = i + 1;
        QK(i) = D(k, col) - getN(0, p_, s_[k], u_) * P0 - getN(e_, p_, s_[k], u_) * Pe;
    }
    // inti Q
    Q = (QK.transpose() * N).transpose();
    // NT*N*P = Q
    MatrixXf NTN = N.transpose() * N;
    P = NTN.lu().solve(Q);
    temp_D(0, col) = P0;
    temp_D(e_, col) = Pe;

    for (int i = 0; i < e_ - 1; i++) {
        temp_D(i + 1, col) = P(i);
    }
}
```

5. getN(int, int, float, vector<float>)

用来计算 $N_{i,p}$ 和 $N_{j,q}$ 。

```
float getN(const int i, const int p, const float t, vector<float> &u) {
    if (p == 0) {
        return (t >= u[i] && t < u[i + 1]) ? 1.0f : 0.0f;
    }
    float left = u[i + p] - u[i];
    float right = u[i + p + 1] - u[i + 1];

    if (globalFunction::floatEqual(left, 0.0f)) {
        left = (t - u[i]) * getN(i, p - 1, t, u);
    } else {
        left = (t - u[i]) / left * getN(i, p - 1, t, u);
    }
    if (globalFunction::floatEqual(right, 0.0f)) {
        right = (u[i + p + 1] - t) * getN(i + 1, p - 1, t, u);
    } else {
        right = (u[i + p + 1] - t) / right * getN(i + 1, p - 1, t, u);
    }
    return left + right;
}
```

6. calculateShowPoints()

用来根据曲面方程计算曲面上的点的位置。

```
void calculateShowPoints() {  
  
    show_points_.resize(num_points_on_line_ + 1);  
  
    for (int i = 0; i <= num_points_on_line_; i++) {  
        for (int j = 0; j <= num_points_on_line_; j++) {  
            float s = ((float) i) / num_points_on_line_;  
            float t = ((float) j) / num_points_on_line_;  
  
            if (globalFunction::floatEqual(s, 1.0f)) {  
                s = 1.0f - Epsilon * 2;  
            }  
            if (globalFunction::floatEqual(t, 1.0f)) {  
                t = 1.0f - Epsilon * 2;  
            }  
  
            // s,t  
            Point p(0.0f, 0.0f, 0.0f);  
            for (int x = 0; x < control_points_.size(); x++) {  
                float n_i_p = getN(x, p_, s, u_);  
                for (int y = 0; y < control_points_[x].size(); y++) {  
                    float n_j_q = getN(y, q_, t, v_);  
                    p.x += n_i_p * n_j_q * control_points_[x][y].x;  
                    p.y += n_i_p * n_j_q * control_points_[x][y].y;  
                    p.z += n_i_p * n_j_q * control_points_[x][y].z;  
                }  
            }  
            show_points_[i].push_back(p);  
        }  
    }  
}
```

六、运行结果与分析

1. B 样条拟合球面结果分析

使用不同的拟合数据点数量对球面进行拟合，得到的最终结果曲面与拟合数据点的误差如下表显示：

拟合数据点个数			曲线次数		拟合误差
u方向	v方向	总数	p	q	
5	5	25	3	3	6.21%
6	6	36	3	3	1.65%
7	7	49	3	3	0.66%
8	8	64	3	3	0.20%
9	9	81	3	3	0.07%
10	10	100	3	3	0.02%
11	11	121	3	3	0.00%

表 1. 不同拟合数据点个数下的数据点拟合误差

从表格中可以看出，在使用 36 个数据点进行拟合球时，对于每个被拟合点，平均误差已经达到 1.65%。但是可以观察到拟合的球与真实的球仍存在差距。

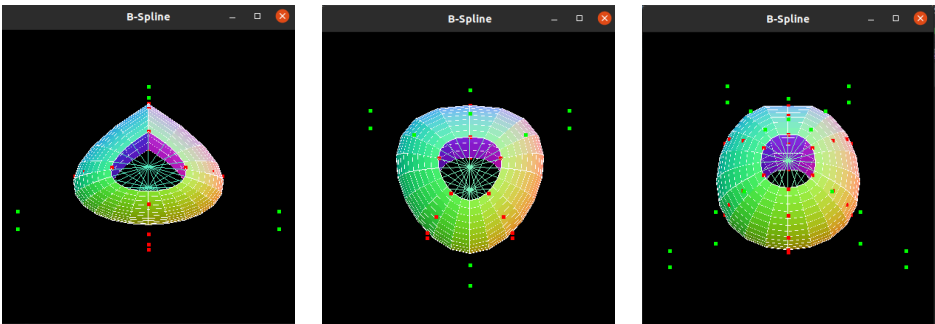
在拟合曲面上均匀采样 400 个点，设 u, v 方向曲线次数为 3，计算曲面上采样点与真实值的误差，详细数据见表。

拟合数据点个数			采样数据点个数	误差
u方向	v方向	总数		
5	5	25	400	7.94%
6	6	36	400	3.41%
7	7	49	400	1.30%
8	8	64	400	0.39%
9	9	81	400	0.13%
10	10	100	400	0.06%
11	11	121	400	0.03%

表 2. 在曲面上 400 个数据点与真实值的平均误差

可以看到，随着拟合点数目的增加，拟合曲面上采样数据点误差不断减小，在使用 36 个点拟合球面时，从球面上均匀采样 400 个数据点，平均误差为 3.41%，当使用 64 个拟合点拟合曲面时，误差会将为 0.39%，肉眼基本观察不出拟合曲面和真实球面的差别。

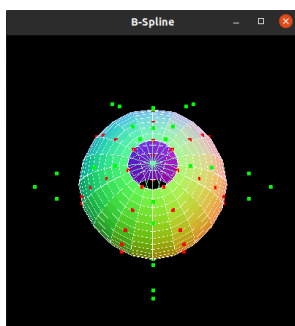
下面是不同拟合点数时的绘制结果：



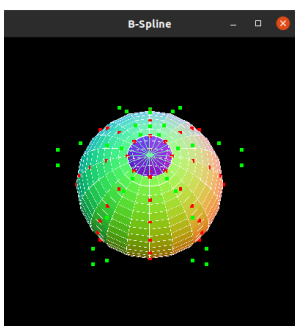
a. 5*5 个拟合数据点

b. 6*6 个拟合数据点

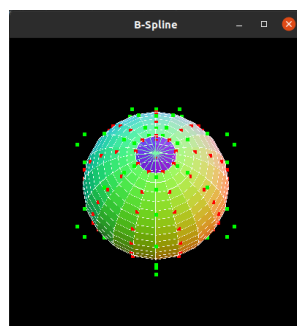
c. 7*7 个拟合数据点



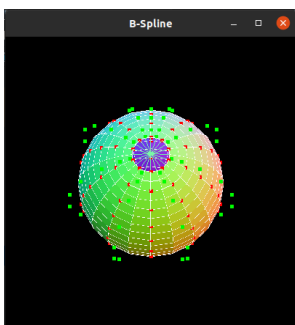
d. 8*8 个拟合数据点



e. 9*9 个拟合数据点



f. 10*10 个拟合数据点



g. 11*11 个拟合数据点

2. B 样条插值球面结果

由于插值曲面会经过所有的插值点，因此各插值点处的误差都为 0。

类似的，使用 3 次插值曲面，不同的插值数据点个数时曲面上 400 采样点平均误差结果如下：

插值数据点个数			采样数据点个数	误差
u方向	v方向	总数		
5	5	25	400	3.52%
6	6	36	400	1.13%
7	7	49	400	0.50%
8	8	64	400	0.23%
9	9	81	400	0.13%
10	10	100	400	0.07%
11	11	121	400	0.03%

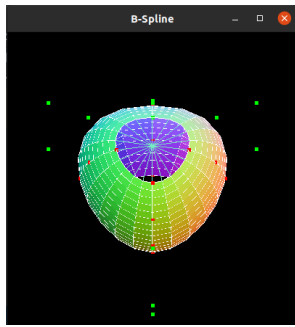
表 3. 在曲面上 400 个数据点与真实值的平均误差

与拟合时相同，随着插值数据点个数的增加误差逐渐变小，，当使用 49 个插值点生成曲面时，误差已经降到 0.50%，插值曲面跟真实球面的差别已经很小。

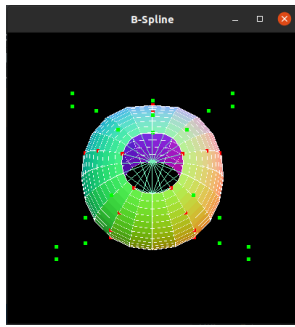
比较拟合和插值两种方法时可以发现，在使用相同数量的数据点、曲面次数也相同时，插值曲面的误差普遍比拟合曲面的误差小。这是因为插值可视拟合曲面方程的一个解，插值曲面使用的控制点个数比拟合时的控制点个数多，因此对曲面的控制能力更好，误差更小。

因此在用 B 样条曲面描述球面时，选用插值方法效果会更好。

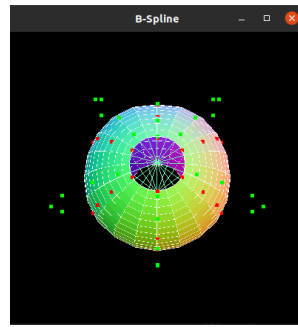
下面是不同插值点数时的绘制结果：



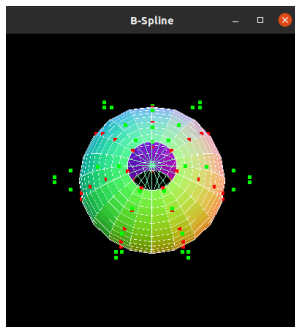
a. 5*5 个插值数据点



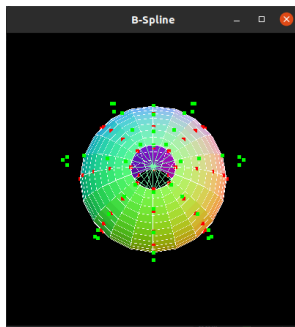
b. 6*6 个插值数据点



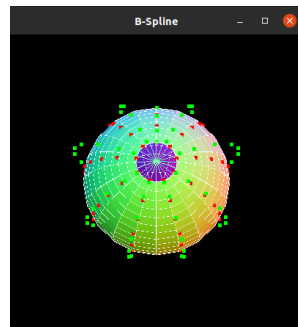
c. 7*7 个插值数据点



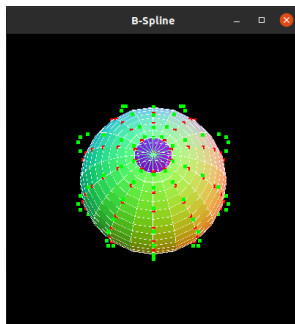
d. 8*8 个插值数据点



e. 9*9 个插值数据点

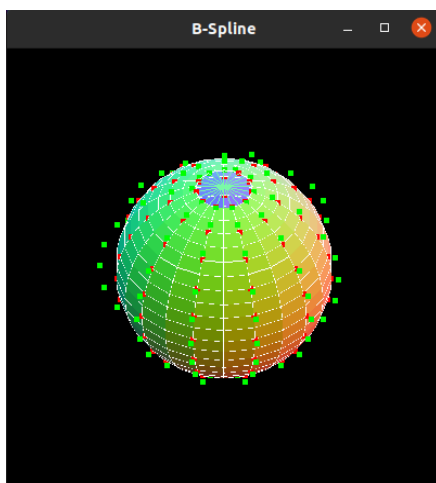


f. 10*10 个插值数据点



g. 11*11 个插值数据点

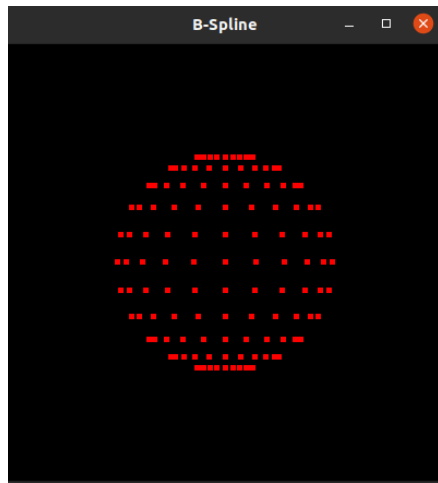
3. 不同显示模式下显示结果



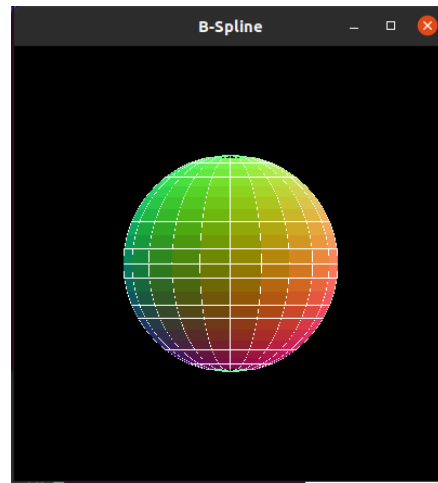
a. 显示所有数据



b. 只显示控制节点



c.显示插值数据点



d.只显示曲面

七、参考文献

- [1] Zhang, Hongxin, and Jieqing Feng. "B-spline interpolation and approximation." *Digital Geometry Processing course lecture notes, Zhejiang University* (2006).